

(29) 固定化硝化細菌を適用した嫌気-無酸素-好気法のシミュレーションモデル

SIMULATION MODEL FOR A<sup>2</sup>O PROCESS WITH IMMOBILIZED NITRIFIERS

鈴木穣\* 高橋正宏\*\* マルクス・ヘスライ\*\*\* C.F. ザイフリード\*\*\*  
Yutaka SUZUKI\*, Masahiro TAKAHASHI\*\*, Markus Haesslein\*\*\*, C.F. Seyfried\*\*\*

**ABSTRACT:** A simulation model was developed for a combined activated sludge and biofilm process which was developed to achieve nitrogen and phosphorus removal without extending the existing treatment facilities. The process consists of an A<sup>2</sup>O (anaerobic, anoxic and oxic) process and a biofilm process in the form of fluidized bed in the aerobic zone. In this process nitrification is carried out by the nitrifiers on the fluidized media and denitrification and phosphorus removal are performed by the activated sludge.

Firstly, a biofilm model was developed by modifying the components, biological processes and detachment mechanism of an existing model, using the experimental results of the fluidized bed process. Secondly, the biofilm model was incorporated into the IAWQ Activated Sludge Model No. 2 with the addition of a mechanism of transferring detached biofilm to the activated sludge. The parameter values of this model were fitted using the data of a pilot plant during a period of no rainfall. The model was then evaluated with the pilot plant data for a period of rainfall.

The model developed for the combined activated sludge and biofilm process simulated the water quality of the pilot plant well. Necessary improvements were also discussed.

**KEYWORDS :** Nitrogen and phosphorus removal, Activated sludge, Biofilm, Immobilization, Model

### 1. はじめに

霞ヶ浦、琵琶湖などの湖沼流域においては、富栄養化を防止するため、下水処理場において窒素・りん除去の高度処理を行っているが、最近、東京湾、大阪湾等の海域についても窒素・りんに係わる環境基準が設定されたため、今後はこれらの内湾に面する大都市でも、窒素・りん除去の高度処理が必要になると考えられる。しかしながら、窒素除去を行うには、増殖速度の遅い硝化細菌を処理系内に保持するために大きな反応槽容量を必要とするため、処理場用地が限られている大都市域では、従来技術により高度処理を行うことは困難である。

近年、微生物の固定化方法を用いることにより、有機物除去プロセスと同程度の処理時間で高度処理を行うことが可能になってきている。これは、硝化細菌を担体に固定化して処理系内に保持することにより、活性汚泥の固形物滞留時間(SRT)が短い場合でも窒素除去を可能にしたものである。これまでに、結合法固定化担体を嫌気-無酸素-好気法の好気槽に添加した処理法のパilotplant実験を行い、良好な処理結果が得られた<sup>1)</sup>ことから、今後は、本処理法を実施設に適用するに当たっての設計法および運転方法を確立することが課題となっている。

上記課題に対しては、シミュレーションモデルを開発することが一つの手法として考えられる。本研究では、処理実験結果をもとに既存のモデルに改良を加え、また、それらを総合化することにより、結合法固定

\* 建設省土木研究所 (Public Works Research Institute, Ministry of Construction)

\*\* 滋賀県土木部 (Department of Civil Engineering, Government of Shiga Prefecture)

\*\*\* ハノバー大学衛生工学研究所 (Institute of Sanitary Engineering and Waste Management, Univ. Hannover)

化担体を用いた高度処理法についてシミュレーションモデルの開発を行った。

## 2 既存のモデル

### 2. 1 活性汚泥モデル

IAWQ のタスクグループが 1994 年に、活性汚泥による有機物・窒素・りん除去プロセスのための Activated Sludge Model No. 2<sup>2)</sup> を発表している。このモデルは、Table 1 に示すような 9 つの溶解性物質、10 の粒子性物質、9 つの主要な生物反応プロセス等により構成されている。個々のプロセスの反応式については省略するが、そのほとんどが最大速度定数と微生物濃度および水質に関するモノー型の速度式をそれぞれかけ合わせる形式となっている。

Table 1 Components and processes of IAWQ Activated Sludge Model No.2

Soluble components	Particulate components
$S_A (M_{cod} L^{-3})$	Fermentation products (Acetate)
$S_{ALK} (M_{HCO_3} L^{-3})$	Alkalinity
$S_F (M_{cod} L^{-3})$	Fermentable, readily biodegradable organic substrates, which are directly available for biodegradation by heterotrophic organisms
$S_I (M_{cod} L^{-3})$	Inert soluble organic material
$S_{N2} (M_N L^{-3})$	Dinitrogen
$S_{NH4} (M_N L^{-3})$	Ammonium plus ammonia nitrogen
$S_{NO3} (M_N L^{-3})$	Nitrate plus nitrite nitrogen
$S_{O2} (M_o L^{-3})$	Dissolved oxygen
$S_{PO4} (M_p L^{-3})$	Inorganic soluble phosphorus (Ortho phosphate)
$X_{AUT} (M_{cod} L^{-3})$	Nitrifying organisms, which perform nitrification ( $S_{NH4} \rightarrow S_{NO3}$ )
$X_H (M_{cod} L^{-3})$	Heterotrophic organisms, which grow aerobically and anoxically (denitrification) on $S_A$ and $S_F$ and perform both hydrolysis of $S_S$ to $S_F$ under all environmental conditions and fermentation of $S_F$ to $S_A$ under anaerobic condition
$X_i (M_{cod} L^{-3})$	Inert particulate organic material
$X_{MOH} (M_{TSS} L^{-3})$	Metal-Hydroxides
$X_{MAP} (M_{TSS} L^{-3})$	Metal-Phosphate
$X_{PAO} (M_{cod} L^{-3})$	Phosphate accumulating organisms
$X_{PHA} (M_{cod} L^{-3})$	Cell internal storage product (poly-hydroxy-alkanoates, glycogen, etc.) of $X_{PAO}$
$X_{PP} (M_p L^{-3})$	Cell internal poly-phosphate storage in $X_{PAO}$
$X_S (M_{cod} L^{-3})$	Slowly biodegradable substrate
$X_{TSS} (M_{TSS} L^{-3})$	Total suspended solids

Biological processes	
Hydrolysis	Transformation of $S_S$ to $S_F$ by $X_H$ under all environmental conditions
Fermentation	Transformation of $S_F$ to $S_A$ by $X_H$ under anaerobic condition
Growth of $X_H$	Growth of $X_H$ on $S_A$ and $S_F$ with either $S_{O2}$ consumption or $S_{NO3}$ reduction under anoxic condition (denitrification)
Growth of $X_{PAO}$	Growth of $X_{PAO}$ on $X_{PHA}$ with the consumption of $S_{O2}$
Growth of $X_{AUT}$	Growth of $X_{AUT}$ on $S_{NH4}$ with the consumption of $S_{O2}$
Storage of $X_{PHA}$	Uptake of $S_A$ and formation of $X_{PHA}$ at the hydrolysis of $X_{PP}$ into $S_{PO4}$ under anaerobic condition
Storage of $X_{PP}$	Uptake of $S_{PO4}$ and formation of $X_{PP}$ at the consumption of $X_{PHA}$ and $S_{O2}$
Lysis of $X_H$ , $X_{PAO}$ and $X_{AUT}$	Transformation of $X_H$ , $X_{PAO}$ and $X_{AUT}$ to $S_S$ and $X_i$ with the release of $S_{NH4}$ and $S_{PO4}$
Lysis of $X_{PHA}$ and $X_{PP}$	Transformation of $X_{PHA}$ or $X_{PP}$ to $S_A$ or $S_{PO4}$

※In the growth processes, uptake of  $S_{NH4}$  and  $S_{PO4}$  must be added.

※Stoichiometric coefficients and kinetic expressions are omitted here.

### 2. 2 生物膜モデル

生物膜による有機物除去反応および硝化反応を表すモデルとしては、Wanner と Gujer による生物膜モデル<sup>3)</sup>がある。本モデルにおける要素と生物反応プロセスは活性汚泥モデルと同様であるが、生物膜が微生物の集合体としての厚みを持つため、Fig. 1 に示すように、生物膜内の基質移動と微生物増殖による生物膜体積の変化をモデル内に組み込んでいる。生物膜全体での基質消費速度は、生物膜内の基質濃度分布と微生物濃度分布を算出することにより求める。本モデルによる計算では、増殖速度の速い微生物が生物膜表面に集積し、増殖速度の遅い微生物が生物膜の内部に押し込められることが報告されている。

本モデルには生物膜の剥離プロセスは組み込まれていないことから、実際の適用に当たっては、剥離機構

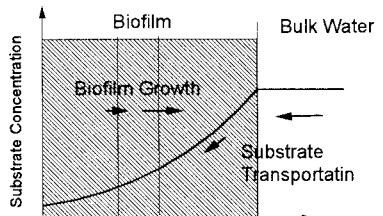


Fig. 1 Substrate transportation and biofilm growth

を数式化し、モデルに組み込む必要がある。

### 3 研究の方法

#### 3. 1 モデル開発のための実験

モデルの開発には、結合法固定化担体の硝化速度に関する実験<sup>4)</sup>の結果、および、結合法固定化担体を添加した嫌気-無酸素-好気法のパイロットプラント実験結果を用いた。以下に実験方法の概要を示す。

##### (1) 結合法固定化担体の硝化速度に関する実験（実験 I）

本実験は、有機物負荷の違いが結合法固定化担体の硝化速度に与える影響を調べることを目的として行ったものである。用いた担体の特性をTable 2に、実験装置をFig. 2に、実験条件をTable 3に示す。担体はポリプロピレン製の中空円筒であり、比重が1に近いため、通常の曝気強度で容易にリアクター内を流動する。実験では、担体を体積比で40%加えた3基のリアクター(A, B, C)に、水温20°Cの条件で有機物濃度の異なる人工下水をRun1からRun4の条件で供給し、定期的に処理水質および担体上の微生物量を測定した。なお有機基質には、デキストリン、ペプトン、酵母エキス、牛肉エキスを混合して用いた。また、各Runの定常状態において、担体上微生物の最大硝化速度および最大有機物除去速度を回分実験により求めた。

Table 2 Characteristics of Immobilization Media

Material	: Polypropylene
Specific gravity	: 1.025 g/cm <sup>3</sup>
Configuration	: Cylinder with empty inside (diameter : 4 mm, length : 5 mm)
Specific surface area when packed densely	: 1410 m <sup>2</sup> /m <sup>3</sup>
Specific gravity when packed densely	: 0.271g/cm <sup>3</sup>

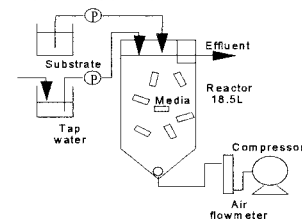


Fig. 2 Experimental apparatus

Table 3 Conditions for Experiment I

Reactor.	Influent water quality (g/m <sup>3</sup> )			
	BOD	TOC	T-N	NH <sub>4</sub> -N
A	0.3	5	25	25
B	12.5	20	27.5	25
C	125	120	25	3

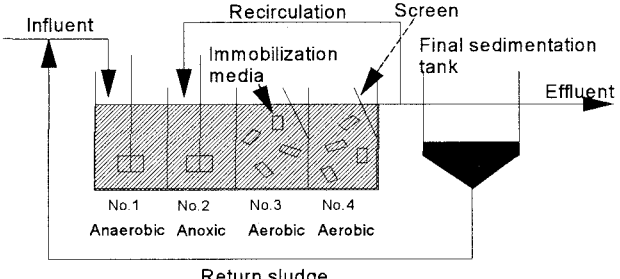
HRT(h)	Run 1	Run 2	Run 3	Run 4
Qin (m <sup>3</sup> /d)	0.0554	0.111	0.222	0.444

##### (2) 結合法固定化担体を添加した嫌気-無酸素-好気法のパイロットプラント実験（実験 II）

沈殿処理した実下水をFig. 3に示すパイロットプラントに供給し、処理実験を行った。リアクターは流下方向に4分割し、No. 1セルを嫌気槽、No. 2セルを無酸素槽、No. 3セルを担体を添加あるいは無添加の好気槽、No. 4セルを担体を添加した好気槽とした。また、No. 3セルおよびNo. 4セルの越流部には、担体の流出を防ぐためのスクリーンを設置した。

リアクターの水理学的滞留時間(HRT)は8hとし、活性汚泥のSRTおよび好気的SRTはそれぞれ14d, 7dとした。

また、流入下水性状に対応した硝化細菌の最大比増殖速度を求めるため、IAWPRCの



Volume of aeration tank	: 10 m <sup>3</sup> (2.5m <sup>3</sup> 2.5m <sup>3</sup> 5m <sup>3</sup> )
Inflow rate	: 30 m <sup>3</sup> /d
Return sludge ratio	: 0.5
Recirculation ratio of nitrified mixed liquor	: 1.5
Solids retention time	: 14d
Volumetric ratio of media in aerobic cell	: 40%

Fig. 3 Outline of pilot plant (Experiment II)

Activated Sludge Model No. 1<sup>5)</sup> の方法に従い、別途、ベンチスケール実験装置による活性汚泥の連続処理実験を行った。このほか、同モデルに用いられている水質項目である Readily Biodegradable COD (= Acetate COD ( $S_A$ ) + Fermentable COD ( $S_F$ )) の流入下水中の濃度を、回分実験での脱窒速度の時間変化から求める Scheer らの方法<sup>6)</sup>により求めるとともに、硝化細菌量を把握するため、回分実験により活性汚泥および担体上生物膜の最大硝化速度を測定した。

### 3. 2 モデル作成の手順

全体の処理プロセスのモデル作成は、2段階の手順により行った。第1段階では、実験Ⅰの結果を用いて・結合法固定化担体上の生物膜についてモデルを作成した。次の第2段階では、作成した生物膜モデルを活性汚泥モデルに組み込んで全体モデルを構成し、実験Ⅱの結果を用いてモデルの検討を行った。

なお、モデルの開発には、シミュレーションソフトウェアとして AQUASTIM<sup>7)</sup> を用いた。

#### (1) 結合法固定化担体上に形成した生物膜のモデリング

実験Ⅰの結果を用い、有機物負荷条件がパイロットプランに近い Reactor B の実験結果を対象として、結合法固定化担体上の生物膜モデルの作成を行った。Wanner と Gujer の開発した生物膜モデルをベースとしたが、生物膜の剥離機構に関しては、実験結果を用いて別途検討し、新しくモデルに加えた。

また、活性汚泥モデルとの整合を図るため、モデルの要素は基本的に IAWQ の Activated Sludge Model No. 2 のそれに統一した。しかし、要素のうち Slowly biodegradable COD は分類上粒子性物質とされているが、実際には溶解性 COD も含むと考えられるため、Table 4 に示すように、溶解性と粒子性に分け、また、生物反応に修正を加えた。実験Ⅰで使用した有機基質はデキストリンやペプトンなどの高分子有機物であったため、これらは溶解性の Slowly biodegradable COD として取り扱った。

モデル中のパラメーターのうち、硝化細菌の最大比増殖速度、加水分解速度、従属栄養細菌の収率、有機基質中の窒素含有率については、Table 5 に示すように、実験結果から算出してモデルに用いた。

Reactor B における剥離生物膜の濃度は付着生物膜濃度の 1%未満と小さい値であったため、モデル中では剥離生物膜は考慮しなかった。また、液側の基質拡散抵抗についても、曝気による担体の攪拌強度が大きかったため考慮しなかった。

Table 4 Definition of slowly biodegradable COD

	Definition	Activated sludge		Biofilm		Modification of hydrolysis process
		Hydrolysis	Penetration	Hydrolysis		
$S_S$	Soluble	OK	OK	OK	$X_S/(K_X X_H + X_S) \rightarrow S_S/(K_S + S_S)$	
$X_S$	Particulate	OK	No	No		No change

Table 5 Parameter values obtained from Experiment I

#### Conversion Factors

#### Source of parameter values

Nitrogen: Soluble Material: $i_{NS}$ N content of slowly biodegradable substrate $S_S$	$0.1 \text{ g}_N \text{ g}^{-1} \text{ COD}$	Nitrogen content of organic substrate
--	--	---------------------------------------

#### Stoichiometric Constants

Heterotrophic Organisms $X_H$ $Y_H$ Yield coefficient	$0.8 \text{ g}_{\text{COD}} \text{ g}^{-1} \text{ COD}$	Steady state data of Reactor C
--	---	--------------------------------

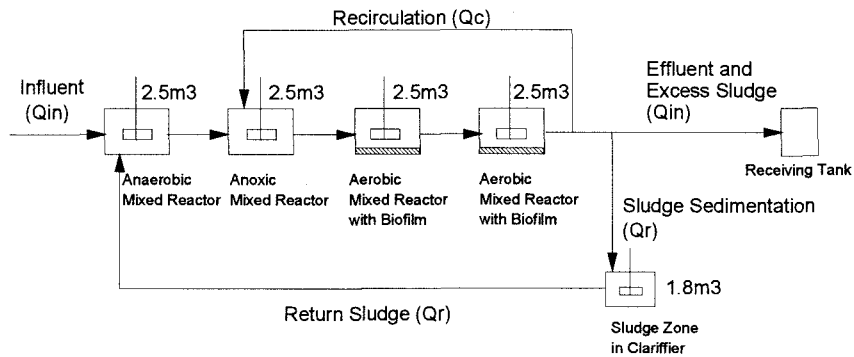
#### Kinetic constants

Hydrolysis: $r_h$ = Hydrolysis rate constant Nitrifiers: $\mu_{AUT}$ = Maximum growth rate	$1.5 \text{ d}^{-1}$ $0.25 \text{ d}^{-1}$	Max. organic matter consumption rate of Reactor C by batch test Max. nitrification rate of Reactor A by batch test
---	---	---

## (2) プロセス全体のモデリング

活性汚泥モデルとしては IAWQ の Activated Sludge Model No. 2 を用いた。これに(1)において作成した生物膜モデルを組み込み、また、剥離した生物膜微生物を活性汚泥に加える機構を加えることで全体モデルを構成した。モデルの構造を Fig. 4 に示す。リアクターの各セルは完全混合反応槽とし、No. 3 と No. 4 セルに対応する反応槽には生物膜を組み込み、また、酸素供給プロセスを加えた。最終沈殿池の汚泥ゾーンにおける脱窒およびりんの放出に対応するため、汚泥ゾーンを 1 つの反応槽としてモデルに組み込んだ。

モデルの開発に際しては実験 II の結果を用い、硝化細菌の最大比増殖速度は、別途、活性汚泥実験から求めた値を使用した。



Name of flow	Flow rate (L <sup>3</sup> /T)	Flux of soluble matter (M/T)	Flux of particulate matter (M/T)
Recirculation	Qc	Qc C	Qc X
Sludge sedimentation (or Return sludge)	Qr	Qr C	(Qin+Qr-Qex) X
Effluent and excess sludge	Qin	Qin C	Qex X

C: concentration of soluble matter (M/L<sup>3</sup>)

X: concentration of particulate matter (M/L<sup>3</sup>)

Fig.4 Structure of the model of A<sup>2</sup>O process with immobilized nitrifiers

## 4. 研究結果

### 4. 1 生物膜モデル

#### (1) シミュレーションの条件

実験 I で得られた生物膜厚さと生物膜の剥離速度の関係を Fig. 5 に示す。モデルには、図中の直線で表される生物膜剥離速度を適用した。なお、生物膜厚さの算出に当たっては、生物膜の VS 濃度を 25,000gVS/m<sup>3</sup> と仮定した。

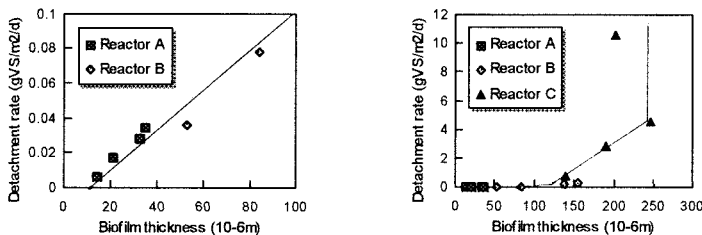


Fig.5 Biofilm detachment rate

生物膜のシミュレーションのためには、生物膜全体での剥離速度だけでなく、生物膜の深さ方向の剥離機構を設定する必要がある。本研究では、生物膜剥離機構を Fig. 6 のように、a)表面からだけの剥離、b-1) 表面ほど剥離強度が大きいある厚みを持った剥離、b-2) ある厚みを持った一様な剥離、b-3) 生物膜全体からの一様な剥離、の計4通り仮定し、シミュレーションを行った。

#### Detachment

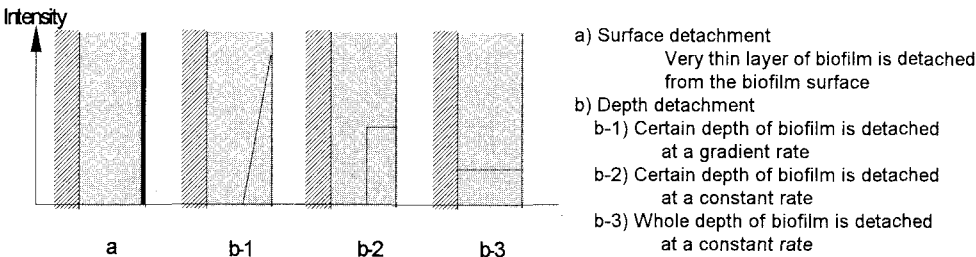


Fig.6 Assumptions of biofilm detachment mechanisms

なお、シミュレーションは、Table 5 に示した実験値と IAWQ Activated Sludge Model No. 2 の中に例示されているパラメーター値を用いて行ったが、Table 6 に示すパラメーターについては、パラメーターフィッティングの結果、表中に示す値とした。生物膜内の拡散係数については Table 7 に示す値を用いた。

Table 6 Parameter values

#### Kinetic constants

Hydrolysis:	
$K_s$	= Saturation coefficient for soluble slowly biodegradable COD ( $S_s$ )
$K_{NH4}$	
$b_H$	= Rate constant for lysis
$K_{NH4}$	= Saturation coefficient for ammonium (nutrient)
$b_{AUT}$	
$K_{NH4}$	= Decay rate
$K_{NH4}$	= Saturation coefficient for ammonium
$K_{ALK}$	= Saturation coefficient for alkalinity
Biofilm:	
$X_f$	= Biofilm concentration

4.0 g $\text{C}\text{omm}^{-3}$

0.10 d $^{-1}$

0.05 g $\text{N}\text{m}^{-3}$

0.05 d $^{-1}$

0.20 g $\text{N}\text{m}^{-3}$

0.10 mole $_{\text{HCO}_3}\text{m}^{-3}$

25,000 gVS/m $^3$

Table 7 Molecular diffusion coefficient

Symbol	Substrate	Diffusion coefficient (m $^2/\text{d}$ )	
		in Water	in Biofilm
D <sub>A</sub>	Acetate	1×10 $^{-4}$	0.8×10 $^{-4}$
D <sub>ALK</sub>	Alkalinity	1×10 $^{-4}$	0.8×10 $^{-4}$
D <sub>F</sub>	S <sub>F</sub>	6×10 $^{-5}$	4.8×10 $^{-5}$
D <sub>S</sub>	S <sub>S</sub>	1×10 $^{-5}$	0.8×10 $^{-5}$
D <sub>NH4</sub>	NH <sub>4</sub>	1.6×10 $^{-4}$	1.3×10 $^{-4}$
D <sub>NO<sub>3</sub></sub>	NO <sub>3</sub>	1.2×10 $^{-4}$	1.0×10 $^{-4}$
D <sub>O<sub>2</sub></sub>	O <sub>2</sub>	2.2×10 $^{-4}$	1.8×10 $^{-4}$
D <sub>PO<sub>4</sub></sub>	PO <sub>4</sub>	1.5×10 $^{-4}$	1.2×10 $^{-4}$

#### (2) シミュレーション結果

シミュレーション結果を Reactor B の場合について Fig. 7 に示す。生物膜厚さおよび処理水 COD 濃度について、生物膜の剥離機構がいずれの場合でも、ある程度良好に実験結果を再現することができた。しかし、処理水 NH<sub>4</sub>-N 濃度については、生物膜が深さ全体にわたって剥離すると仮定した場合(b-3)にのみ、Run4 の実験結果に近い値とすることができた。これは、生物膜の剥離機構を a, b-1, b-2 と仮定した場合には、Fig. 8 の b-2 に代表として示すように、硝化細菌が全生物膜にわたって存在するのに対し、生物膜全体から剥離すると仮定した場合(b-3)には、生物膜表面近くにおいて硝化細菌が存在しないような状態が生じるためである。

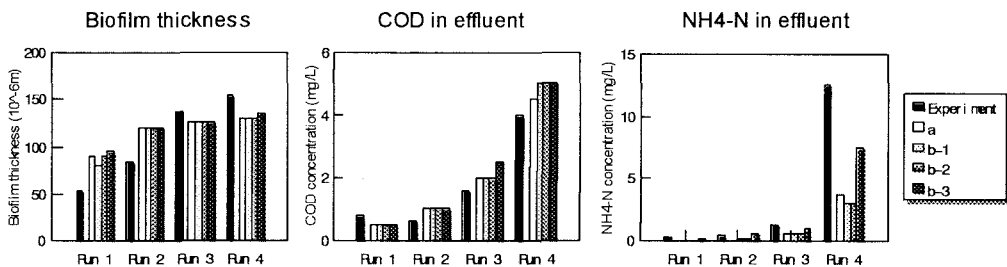


Fig.7 Simulation results with four detachment mechanisms (Reactor B of Experiment I)

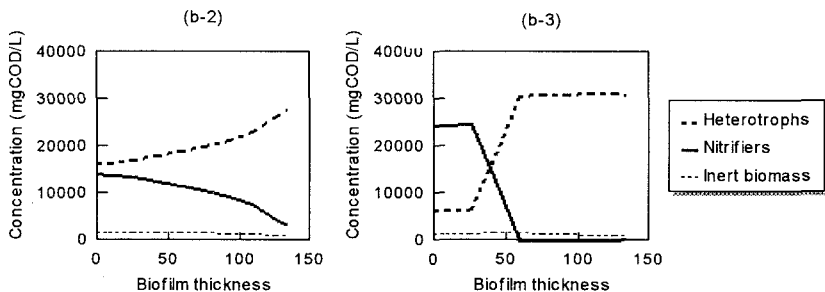


Fig.8 Distributions of biomass (Run4 of Reactor B)

#### 4. 2 全体モデル

##### (1) シミュレーションの条件

別途行った活性汚泥実験から、下水に対する硝化細菌の最大比増殖速度( $20^{\circ}\text{C}$ )は $0.25\text{d}^{-1}$ と計算されたため、シミュレーションではこの値を使用した。また、流入下水中の酢酸およびReadily biodegradable CODの濃度は、溶解性CODに対してそれぞれ46%と60%であった。

晴天時におけるパレット処理結果に関して、Table 8に示した流入下水水質および運転条件のもとで、主として加水分解プロセスに関するパラメーターフィッティングを行った。

##### (2) シミュレーション結果

Table 9に、パラメーターフィッティングの結果、生物膜モデルの場合と異なることとなったパラメーター値を示す。また、水質に関するシミュレーション結果をFig. 9に、活性汚泥に関する結果をFig. 10に、担体上の生物膜に関する結果をFig. 11に示す。なお、硝化細菌の濃度は、回分実験で求めた最大硝化速度から算出した。

水質に関しては、好気第1槽において大きめの硝化速度となったものの、COD、窒素、りんとともに実験結果を良好に再現することができた。また、活性汚泥

Table 8 Influent water quality and operation conditions

	No rainfall	Rainfall		
<b>Influent water quality</b>				
$S_A (\text{mgCODL}^{-1})$	32	16		
$S_{ALK} (\text{molHCO}_3\text{L}^{-1})$	3	3		
$S_F (\text{mgCODL}^{-1})$	9	5		
$S_S (\text{mgCODL}^{-1})$	13	0		
$S_I (\text{mgCODL}^{-1})$	15	14		
$S_{NH4} (\text{mgNL}^{-1})$	18.7	16.8		
$S_{NO_3} (\text{mgNL}^{-1})$	0.09	0.03		
$S_{O_2} (\text{mgOL}^{-1})$	0	0		
$S_{PO_4} (\text{mgPL}^{-1})$	2.15	1.4		
$X_S (\text{mgCODL}^{-1})$	75	60		
$X_I (\text{mgCODL}^{-1})$	15	10		
$I_{NS} (\text{gN g}^{-1} \text{COD})$	0.04	0.04		
<b>Operation condition of aerobicic cells</b>				
$S_{O_2} (\text{mgOL}^{-1})$	No.3	No.4	No.3	No.4

Table 9 Parameter values different from biofilm model

##### Stoichiometric Constants

Heterotrophic Organisms $X_H$	$Y_H$ Yield coefficient	$0.63 \text{ gCOD g}^{-1} \text{COD}$
-------------------------------	-------------------------	---------------------------------------

##### Kinetic constants

Hydrolysis: $r_h = \text{Hydrolysis rate constant}$ $K_h = \text{Saturation coefficient for particulate COD (X}_S)$	$6 \text{ d}^{-1}$ $0.05 \text{ gcodg}^{-1} \text{cod}$
---	--

項目のうち、ポリリン酸濃度に関しては実験結果をよく表す結果となったが、硝化細菌濃度は幾分低めの値となった。しかしながら、生物膜中の硝化細菌濃度に比べて活性汚泥のそれが小さいという傾向は表されていた。

生物膜に関しては、シミュレーション結果が実験結果よりも小さい値となり、また、硝化細菌がほぼ好気第1槽の担体上のみに存在する結果となった。この理由として、生物膜モデルでは粒子性有機物の吸着・分解を処理機構として考慮していないため、生物膜への有機物負荷が小さく計算されたことが考えられる。

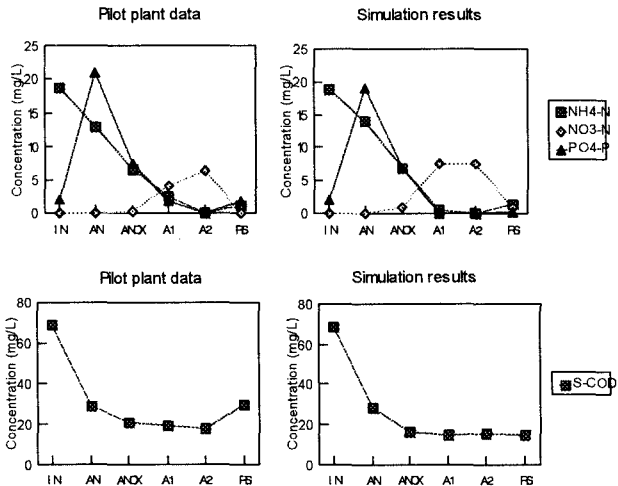


Fig. 9 Simulation results of water quality

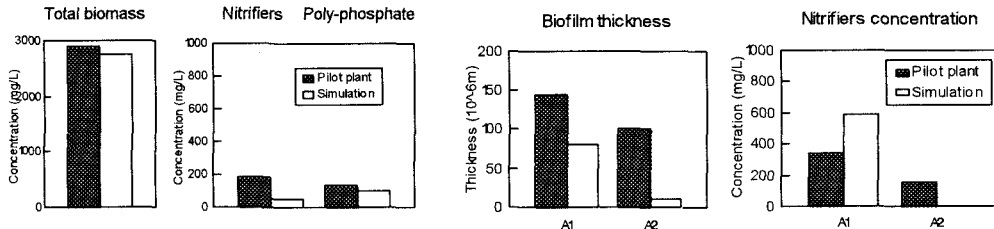


Fig. 10 Simulation results of activated sludge

Fig. 11 Simulation results of biofilm

晴天時の処理結果でフィッティングしたモデルを、降雨が継続して流入下水濃度が長期間希薄になった条件に適用し、モデルの評価を行った。ただしこの時期には、パイロットプラントの好気第1槽中の担体は取り去り、担体は好気第2槽のみに添加されている状態であった。

水質のシミュレーション結果を Fig. 12 に、活性汚泥および生物膜厚さの結果を Fig. 13 に示す。

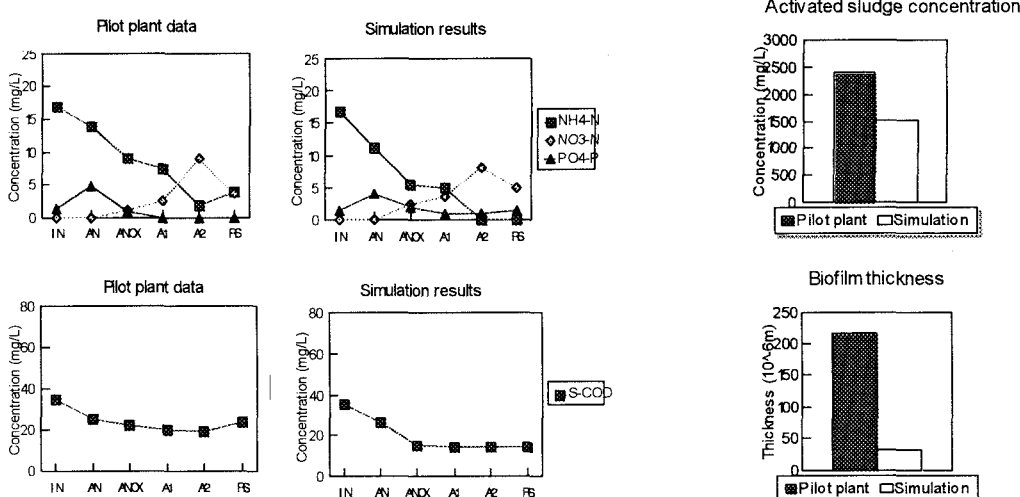


Fig. 12 Simulation results of water quality with long rain fall

Fig. 13 Simulation results of activated sludge and biofilm with long rain fall

流入 COD 濃度の低下に起因する嫌気槽におけるりんの放出濃度の減少、無酸素槽での NO<sub>x</sub>-N の残留がよく表されており、硝化が担体の存在する好気第2槽で主に行われている様子もシミュレートされている。しかし、担体上の生物膜厚さに関しては、実験結果とシミュレーション結果の間に大きな差があり、生物膜厚さの定常状態に至る時間等も含めて、今後の検討を要する課題である。

## 5 まとめ

結合法固定化担体を嫌気-無酸素-好気法の好気槽に添加した処理法について、シミュレーションモデルの開発を行った。まず、担体上の生物膜について、実験結果を用いて生物膜の剥離機構を中心として検討し、モデルを作成した。次いで、生物膜モデルを活性汚泥モデルに組み込み、2つの異なる処理状況におけるパイロットプラント実験結果を用いて、モデルのフィッティングと評価を行った。その結果、開発モデルは水質結果をよく表すことが明らかとなった。しかし今後は、モデルの向上のため粒子性有機物の生物膜による利用機構を検討し、当該プロセスをモデルに組み込む必要があると考えられた。

## 参考文献

- 1)高橋正宏、鈴木穣（1995）微生物の固定化方法を用いた排水中からの窒素・りん除去法、土木技術資料37, 8, 32-37
- 2) Henze, M., Gujer, W., Mino, T., Matso, T., Wentzel, M. C. and Marais, G. v. R. (1994) Activated Sludge Model No. 2. *IAWQ Scientific and Technical Reports*.
- 3) Wanner, O. and Gujer, W. (1984) Competition in Biofilms. *Wat. Sci. Tech.* 17, 27-44
- 4) 宮田純、高橋正宏、鈴木穣、滝沢智（1994）固定化微生物の硝化活性に対する有機物負荷および窒素負荷の影響、第28回日本水環境学会年会講演集, 54-55
- 5) Henze, M., Grady Jr, C. P. L., Gujer, W., Matso, T. and Marais, G. v. R. (1986) Activated Sludge Model No. 1. *IAWQ Scientific and Technical Reports*.
- 6) Scheer, H. and Seyfried, C. F. (1994) Experiences with the Enhanced Biological Phosphorus Removal in Germany. Presented at the sixth Japanese-German Workshop on Waste Water and Sludge Treatment. Research Center Karlsruhe, Germany
- 7) Reichert, P. (1994) Aquasim - A Tool for Simulation and Data Analysis of Aquatic Systems. *Wat. Sci. Tech.* 30, 21-30.